

タブレット入力による 手書き線図形認識アルゴリズムの検討

ON-LINE RECOGNITION ALGORITHM FOR HAND-SKETCHED LINE FIGURES

村瀬 洋 若原 徹 梅田 三千雄
Hiroshi MURASE Toru WAKAHARA Michio UMEDA

日本電信電話公社 武藏野電気通信研究所
Musashino Electrical Communication Laboratory, N.T.T.

In this paper, an on-line recognition algorithm for hand-sketched line figures is described. The algorithm consists of two parts. At first part, candidate figures are extracted by using topological relation among end points of input strokes, and the distance between candidate figure and input figure is calculated by DP matching method. At second part, examining the candidate lattice composed of candidate figures and their distances, the combination of candidates to minimize the total sum of distances is selected.

Applying the above algorithm to 60 handwritten flowchart data (these consist of 4-9 figures and lines), recognition rate of 97.6% was achieved.

1 まえがき

近年、文字や図形を含む手書き文書の自動書類や、手書き図形による計算機との円滑な会話を実現しようとする動きが強まっている。これを達成するためには、理想的には新規面上に自由書式で手書きされた線図形を自動認識する技術が必要となる。

現在までに、ファクシミリ(又はスキャナー)から入力された手書き線図形の認識に関する研究の報告は幾つかなされている(文献(1)～(3))。これらの入力方式は、身近なファクシミリを入力装置として利用できる点、既に新規面上に筆記されている線図形の認識が可能である点で優れている。しかし新規に線図形を入力する場合には、一旦新規面上に筆記しその後にファクシミリ装置へ入力するため、2段階の手間となり即時性に欠ける。

これに対し、タブレットから直接入力する方式がある。例えば、CADやCAMの入力手法の一つとして、タブレット上に手書きされた編集記号を認識する手法がある(文献(4))。ま

たタブレット上に手書きされた線図形を認識する研究の報告もある(文献(5)～(6))。これらタブレットから入力する手法は、即時性の面では有効である。しかし従来のこの種の認識手法では、

- (1) 図形要素を読み取られた画数・筆順で筆記する。
- (2) 図形要素間のセグメントーション情報をシステムに暗示する。

などの制限が筆記者に課せられた。そのためには必ずしも手堅な入力方式とは言えなかった。簡便な入力のためには、任意の画数・筆順での手書きを許し、かつセグメントーション情報を必要としない認識手法の実現が望まれる。

本報告では、上記制限(1),(2)を同時に取り除くタブレット入力による手書き線図形の認識アルゴリズムを提案する。その際、任意の画数・筆順に対応するため、トップダウン的に候補ストローク列を生成し、標準ストローク列としてマッピングに使用する手法を導入した。また、全体として矛盾のないセグメントーションを実現するために、候補ラティス法を考慮した。今

図は本アルゴリズムをフローチャートの图形部分に適用し、認識実験を行なった。なお手書きフローチャートの自動認識技術は、論文・仕様書等によく出現するフローチャートの自動消去、さらにはフローチャート入力によるプログラムの自動作成等に応用できる技術である。

以下、2章で認識対象データについて、3章で認識アルゴリズムを、4章で認識実験の結果を述べる。

2 認識対象データ

今回扱うフローチャートは、図1に示す専用图形9種類と直線から構成されるものにする。この専用图形と直線によりほとんどのフローチャートは構成可能である。

実験に使用する手書き图形データとして、専用图形データとフローチャート图形データを収集した。

専用图形データとは図1に示す専用图形を1回形づつ、任意の画数・筆順で手書きさせたデータのことである。この图形データを用いて任意の画数・筆順に対応するためのアルゴリズムを検討した。

フローチャート图形データとは、4~9個程度の専用图形および直線から構成される图形を、専用图形を1つ書き終る毎に、筆記者がセクメンテーション情報を指示することなく、任意の順序で手書きした图形データのことである。その際に、各専用图形については任意の画数・筆順で書くことを許した。フローチャート图形データの例を図2に示す。この图形データを使用し、自動セクメンテーション方法の検討および認識実験を行なった。

収集したデータの数を表1に示す。

3 認識アルゴリズム

3.1 認識アルゴリズムの概要

認識処理の概要を図3のフローチャートに示す。処理は大きく2つの段階から構成した。

第1段階では、入力图形中から候補图形を抽出する。その際に、画数・筆順に関する制限はないことを前提に処理を行なう。本段階では入力图形中のすべての部分图形を処理の対象と

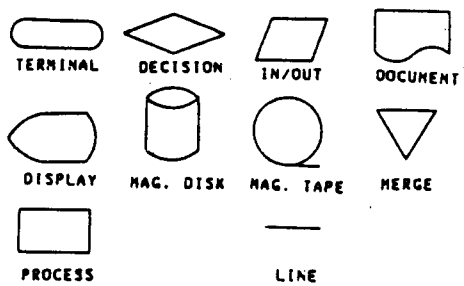


図1 専用图形と直線

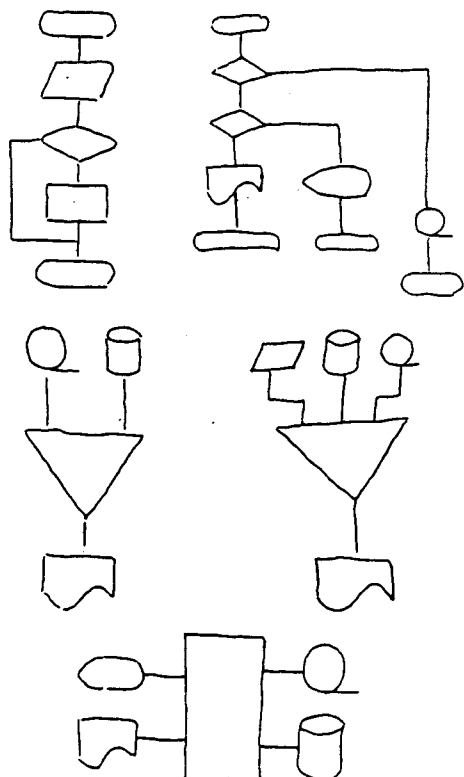


図2 フローチャート图形データ例

表1 収集データ

種類	筆記者数	記入数	データ数
専用图形データ	20名	9種類を各4回	720
フローチャート图形データ	3名	5種類を各4回	60

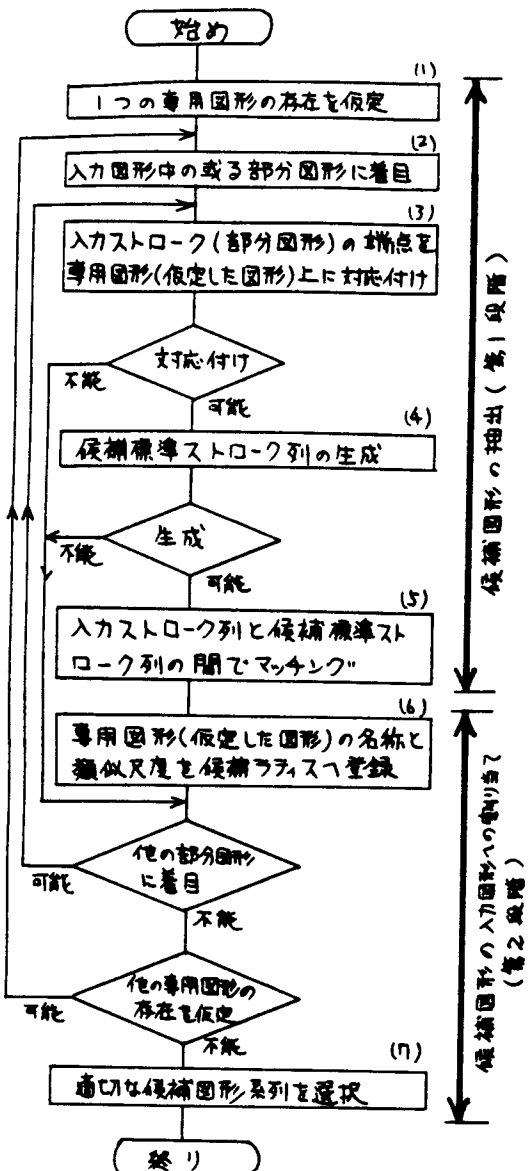


図3 認識アルゴリズム

するため、処理量の少ない簡単な特徴を利用するこ^トが有効である。そこで入力图形中のストロークの端点とその接続関係のみを用いて、候補图形を抽出する。図3中で第1段階は(1)~(4)までである。処理の詳細を3.3, 3.4, 3.5に述べる。

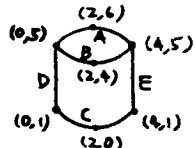
第2段階では、前段階で抽出された複数の候補图形の中から適切な候補图形系列を抽出し入力图形に割り当てる。この処理の実現のため、

候補图形の名称とその图形に対する相似度(入力图形と候補图形の間の距離値)とを合せて登録する候補ラティス表現を導入する。候補ラティスから最適経路を探索することにより、入力图形全体として矛盾のない候補图形の割り当てが可能になる。図3中(6),(7)がこの処理に相当する。処理の詳細は3.7にて述べる。

3.2 辞書の記述

専用图形の種類の複数性を考慮し、専用图形に関して計算機に付与する辞書はできるだけ簡単な記述で表現する。ここでは图形を直線と円弧の組合せで記述する。直線(line)は始点と終点の、円弧(arc)は始点と終点と中間点の座標値で表現される。

専用图形 "mag. disk" に関する辞書の記述例を図4に示す。



ラベル	名前	始点	終点	中間点
A :	ARC	(ST=(0,5) , EN=(4,5) , MID=(2,6))		
B :	ARC	(ST=(0,5) , EN=(4,5) , MID=(2,4))		
C :	ARC	(ST=(0,1) , EN=(4,1) , MID=(2,0))		
D :	LINE	(ST=(0,1) , EN=(0,5))		
E :	LINE	(ST=(4,1) , EN=(4,5))		

図4 辞書の記述例 (mag. disk)

3.3 入力ストロークの端点の対応付け

制限を与えずに算記させた専用图形データを分析すると、算順および画数にはほとんど規則性は見られないが、ストロークの端点となる可能性のある箇所は有限個に限られるという結果が得られた。これらの点を候補端点と定義する。候補端点の例を図5に示す。

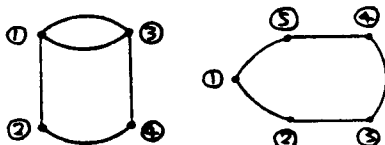


図5 候補端点の例

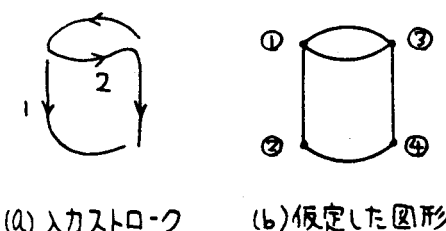
入力图形中で着目している部分图形を構成するストロークを入力ストロークと呼ぶことにした場合、もし入力ストロークが、存在を仮定

した専用图形（以下これを「仮定した图形」と呼ぶ）であるならば、入力ストロークの端点は「仮定した图形」上の候補端点のどれかに対応する。そこでまず、「仮定した图形」を入力图形と同じ大きさに正規化し（縦方向、横方向それぞれ独立にその最大幅を正規化する），その後に入力ストロークの各端点をそれを基準の候補端点に対応付ける。例えば図6 (a) に示す入力ストローク例に対し、図6 (b) の "mag. disk" が仮定された場合には、図6 (c) に示す対応結果が得られる。

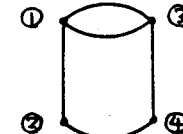
今書き変形のため端点の位置は変動する。しかし、その変動は一定範囲内にある。処理の効率化を計るために、入力ストロークの端点が「仮定した图形」のどの候補端点からも一定範囲内に位置しない場合は、「仮定した图形」ではありえないとして、他の専用图形の存在を仮定する処理に移る。この端点位置の変動許容範囲については、専用图形データ（表1参照）を分析し、余裕ある値に設定した。

3.4 候補標準ストローク列の生成

対応付けられた候補端点とその接続関係を用い、「仮定した图形」が妥当であるか否かを位相構造的な観点から調べる。妥当ならば、「



(a) 入力ストローク

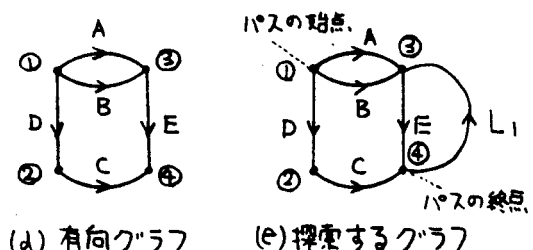


(c) 入力ストロークの端点と候補端点との対応

仮定した图形」上での予想されるペンの動きを、候補標準ストローク列としてすべて列挙する。

上記処理を実現するため、まず候補端点をノードとする有向グラフを用いて、「仮定した图形」を表現しておく（例えば、"mag. disk" の有向グラフ表現は図6 (d) となる）。次いで3.3で求められた端点の対応条件（図6 (c) 参照）を満たし、グラフ内のすべてのアランチを通過するP本の経路の組をすべて求める。ただしPは入力ストローク数である。これらの経路の組が候補標準ストローク列となる。具体的には次の手順に従う。

- (1) 第k ($1 \leq k \leq P-1$) ストロークの終点に対応したノードから、第k+1ストロークの始点に対応したノードに向う新しいアランチをもとの有向グラフに追加する（図6 (e) 参照）。この追加により(3)で述べた条件のもとでオイラー・パスを求める問題に変形できる。その際、パスの始点は第1ストロークの始点に対応したノードであり、パスの終点は第Pストロークの終点に対応したノードである（図6 (e) 参照）。
- (2) パスの始点と終点を除くすべてのノードの次数が偶数であることが解の存在のための必要



(d) 有向グラフ

(e) 撮影するグラフ

ストロークの番号	始点	終点
1	①	④
2	③	④

(c) 入力ストロークの端点と候補端点との対応

1:	+D	+C	**	-B	+A	+E
2:	+D	+C	**	-A	+B	+E
3:	+B	+E	**	-A	+D	+C
4:	+B	-A	+D	+C	**	+E
5:	+A	+E	**	-B	+D	+C
6:	+A	-B	+D	+C	**	+E

(f) 候補標準ストローク列の生成例

但し $\begin{cases} + \rightarrow \text{矢印方向へ通過} \\ - \rightarrow \text{逆矢印方向へ通過} \\ * \rightarrow \text{ペンのVP(アランチLPに対応)} \end{cases}$

図6 候補標準ストローク列の生成過程

条件となる。この条件を満足しない場合は、入力图形は「仮定した图形」ではないとし、他の専用图形の存在を仮定する処理へ移行する。満足する場合は次の処理を行う。

(3) 条件付きでオイラー・パスを求める。その際必要となる条件を以下に示す。

① プラント L_p ($1 \leq p \leq P-1$) の逆矢印方向への通過は禁止するが、その他のプランテは両方向に通過可能である。

② L_p を通過する順序は L_1, L_2, \dots, L_{P-1} である。

③ L_{P+1} を L_P に連続して通過することは禁止する。

パスの探索には Depth First 法による tree search を用いた。探索が失敗した場合には、入力图形は「仮定した图形」ではないとし、他の専用图形の存在を仮定する処理へ移行する。

本手法によれば、図 6 の例の場合には図 6 (f) に示す 6 個の候補標準ストローク列が生成される。図 6 (a) の入カストローク例に対応した候補が図 6 (f) の 2 番目に生成されていることがわかる。この例では生成数は 6 個であったが、表 1 に掲げた専用图形データの各图形に対し正しい图形の存在を仮定し、候補標準ストローク列を生成する実験を行なったところ、生成数の平均値は 1.6 個であった。次段階におけるマッチングの回数は候補標準ストローク列の生成数に比例する。つまり本手法により、画数・筆順が固定の場合に比較し、処理量を 1.6 倍に増加しただけで任意の画数・筆順を許容することができた。

候補標準ストローク列は記号列で求まるので、辞書に含まれる専用图形の記述(図 2 参照)を用い、記号列を座標値系列に変換し、次段階の処理で使用する。

3.5 ストローク間のマッチング

候補標準ストローク列の生成段階では、ストロークの端点の位置と接続関係だけを用い、ストロークの細かい形状については考慮していない。そこで次段階として、候補標準ストローク列と入カストローク列間で形状のマッチングを行ない、ストローク形状の相異度を計算する。

ここでは点近似されたストロークに対し 3 種類のマッチング手法を適用し、専用图形データを対象に認識実験を行なうことにより相異度を評価した。

(1) 手法 1

入カストロークと候補標準ストロークを各々 N 点で点近似し、両者のストローク間で單純に N 点を 1 対 1 に対応付ける。対応付けられた点間のユークリッド距離の総和を相異度とする(図 7-(a) の説明図を参照)。

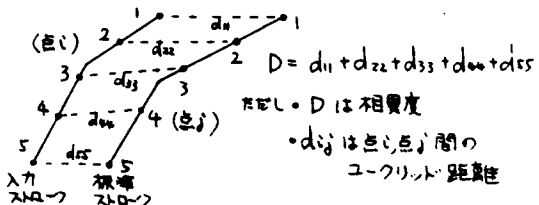


図 7-(a) 説明図(手法 1)

(2) 手法 2

入カストロークと候補標準ストロークを各々 N 点で点近似する。その点の対応付けに DP マッチングを利用する。つまり適当に点の対応をずらすことにより各々の距離値の総和を最小とする点の対応付けを行なう。但し各点間の距離にユークリッド距離を用い、距離値の総和を相異度とする(図 7-(b) の説明図を参照)。

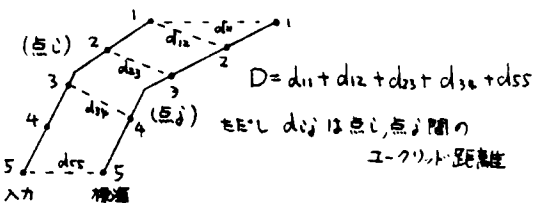


図 7-(b) 説明図(手法 2, 手法 3)

(3) 手法 3

手法 2 と同様に DP マッチングにより点間の対応をとる。但し、各々の点間の距離にはユークリッド距離と、その点での接線方向に関する距離を加重和まとめて、各点での距離値の総和を相異度とする。図 7-(b) の例において $d_{ij} = (\text{点 } i, j \text{ 間のユークリッド距離}) + \text{係数} \times (\text{点 } i \text{ の傾き角} - \text{点 } j \text{ の傾き角})$ としたものである。

各手法を用いて専用图形データを認識した際の認識率を表2に示す。

表2 専用图形データの認識率

手法	認識率
1	95.0%
2	96.9%
3	97.3%

実験の結果、手法3の点間のユークリッド距離とその点での接線方向に間する距離の和をもとにDPMマッチングする手法で最も高い認識率が得られたので、この手法を本アルゴリズムに採用することにした。なお誤認パターンの一例を図8に示すが人間を見ても判別が困難な图形である。

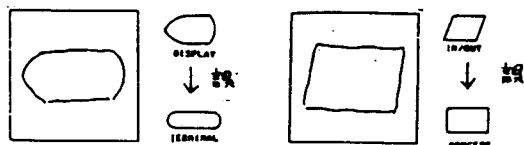


図8 誤認パターンの一例

3.6 候補图形の抽出

図2で示したようなフローチャート图形データが本報告での最終的な認識対象である。图形データごとに、图形要素の書かれた順序、图形要素内での画数や筆順は多様である。その一例として図9に21ストロークで書かれたフローチャートを示し、以下この图形を例に説明する。

3.3～3.5で示したアルゴリズムにより入力图形から候補图形を抽出し、各候補图形について相異度を計算した。仮に画数や筆順についてあらゆる組合せを考慮し、總当たり的な手法を用いると膨大な数の相異度の計算が必要であるのに対し、本手法では選択された候補標準ストローク列の数だけ相異度を計算すればよい。図9に示すフローチャートの例では、總当たり的な手法を用いると約41万回の相異度の計算が必要であるのに対し、本手法では67回の相異度の計算だけを必要とした。今回は相異度の計算にDPMマッチングを基本とする手法を用いたが、このように加工量の多い相異度を導入する

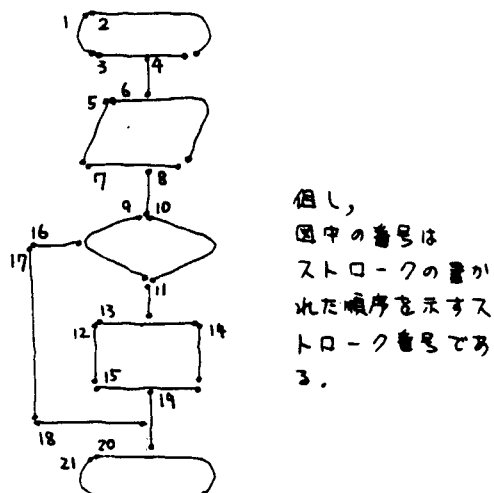


図9 フローチャート图形の一例

際に、特に有効である。

3.7 候補ラティス

3.6で抽出した候補图形を入力ストローク全体に対して最適に割り当てるため、候補图形を表形式のラティスで表現する。図9に示すフローチャートの入力例に対するラティス表現の例を図10に示す。ラティス中の各ブロックの中には、候補图形の名称とその候補图形であるとしたときの相異度が記入されている。

候補ラティスによれば候補图形系列の選択の仕方に応じて、第1ストロークから最終ストロークまでの間に経路が考えられる。多數の経路の中で以下に示す評価式の値を最小にする経路を探索する。探索の際には最短経路探索をするアルゴリズムを使用した。2種類の評価式(S_1, S_2)を用い、比較検討を行なった。

(1)評価式1

$$S_1 = \sum_{\text{候補图形} \in \text{系列}} (\text{相異度})$$

(2)評価式2

$$S_2 = \sum_{\text{候補图形} \in \text{系列}} (\text{相異度}) / (\text{候補图形のストローク数})$$

評価式1を用いた場合、相異度の単純な総和を最小とする経路が解となる。この評価式

ストローク番号

1	2	3	4	5	6	7	8	9	10	11	12	13	14	15	16	17	18	19	20	21
—	—	—	—	—	—	—	—	—	◇	—	—	—	—	—	—	—	—	—	—	
0.25	0.20	0.01	0.02	0.01	0.34	0.02	0.01	0.54	0.17	0.02	0.02	0.01	0.01	0.03	0.01	0.01	0.02	0.18	0.21	
○	○	○	○	○	○	○	○	◇	▽	○	○	○	○	○	○	○	○	○	○	
0.38	0.58	0.37	0.64	0.08	0.60	0.65	0.43	0.04	0.10	0.14	0.24	0.79	—	—	—	—	—	—	—	
—	—	—	—	—	—	—	—	—	—	—	—	—	—	—	—	—	—	—	—	
0.06	0.10	—	—	—	—	—	—	—	—	—	—	—	—	—	—	—	—	—	—	
0.10	—	—	—	—	—	—	—	—	—	—	—	—	—	—	—	—	—	—	—	

但し

- ・ 図形名称、相異度
- ・ 本碎は正しい図形

図 10 候補 ラティスの例 (入力図形は図9)

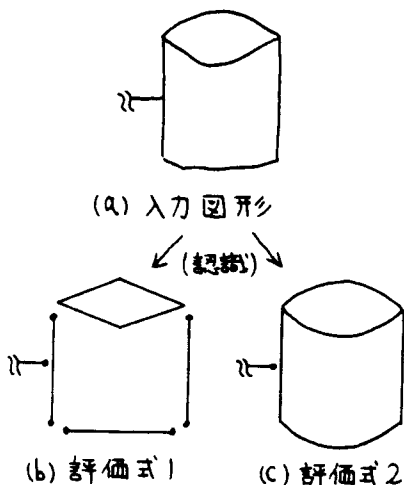


図 11 救済できた誤割り当ての例

で認識を行なったところ、図11(b)に示す例 ("mag. disk" を "decision" + 3本の"line"に割り当てる) のような割り当て失敗の例が多数発生した。

一方、評価式2では相異度をストローク数で重み付けてから筆術和をとる。そのためスト

ローク数の多い候補图形程、優先的に割り当てがなされる。その結果、図11に示したような割り当て失敗の大部分を救済することができます。この手法を最大候補图形優先割り当て法と呼ぶことにする。本アルゴリズムではこの手法を採用する。

今回提案したアルゴリズムにより図9のプロセチャートを認識した結果を図12に示す。

ストローク番号	図形名称
1 -> 3	TERMINAL
4 -> 4	LINE
5 -> 7	IN/OUT
8 -> 8	LINE
9 -> 10	DECISION
11 -> 11	LINE
12 -> 15	PROCESS
16 -> 16	LINE
17 -> 17	LINE
18 -> 18	LINE
19 -> 19	LINE
20 -> 21	TERMINAL

図12 認識結果の例 (入力図形は図9)

5. 認識結果

図2に示したような、フローチャート图形データ(表)参照)60枚を対象に認識実験を行なった。認識率は最大部分图形優先割り当て法を使用しない場合には88.6%であるのに対し、本手法では97.6%である。たゞ誤認識率2.4%の内訳は、専用图形か他の専用图形に誤認識された例2.0%, 候補图形の入力图形への割り当て(セグメンテーション)が失敗した例0.4%である。

但し、

$$\text{認識率} = \frac{\text{正しく認識された専用图形数}}{\text{入力图形中に含まれる専用图形数}} \times 100\%$$

で定義した。

6. あとがき

トップダウン的な候補標準ストローク列の生成手法を導入したことにより、マッチングの処理量を増加することなく(3.4参照), 任意の画数・筆順を許容することが可能となると共に、フローチャート图形全体の認識においても、不要なマッチング処理をすることなく(3.6参照), 候補图形を抽出できる見通しが得られた。

一方、候補ラティス法を提案し、最大部分图形優先割り当て法を導入したことにより、精度の高い图形割り当て(セグメンテーションの自動化)が実現できた。

各専用图形は任意の画数・筆順で書かれ、かつ専用图形(直線を含む)間にセグメンテーション情報のないフローチャート图形60枚を対象に97.6%の認識率が得られた。

今後の研究課題としては、(1)個々の専用图形の認識精度を更に向上させる、(2)何處を毫毛書きした線分により構成された複数形(ラフスケッチの際によく用いる)の認識を可能にする、(3)文字や图形が複数に混在する複数形や構造のより複雑な图形の認識に本手法を拡張する。ことなどがあげられる。

<謝辞>

日頃御指導頂く、畔柳基礎研究部長、橋本統括係、増田第8研究室長に深謝します。また日頃御討論頂く第8研究室の諸氏ならびに、データ収集に御協力頂いた諸氏に感謝します。

<文献>

- (1) 佐藤, 棚上: "手書き画面処理の一方法", 情報処理学会, 第22回全国大会, 1981
- (2) 吉田, 桜井, 長田, 岩田: "手書き画面の自動入力/処理装置", 情報処理学会, vol 22, No 4, 1981
- (3) 名倉, 末永: "FAXと特殊マークを用いた手書き画面の图形データ構造への変換法", 第10回画像工学コンファレンス, 8-6, 1979
- (4) "ターンキー型 CAD/CAMシステムの研究", 図形と画像, vol 2, No 3, 1981
- (5) Gabriel F. Groner : "Real Time Recognition of Hand Printed Text", FJCC, 1966
- (6) Wen C. Lin : "Machine Recognition and Plotting of Hand-Sketched Line Figures", IEEE, Trans. of SMC-8, 1978
- (7) 鹿野, 好田: "会話音声の機械認識における音響処理", 個学論(カ), J61-D, 4, 1978